

**Комитет по высшей школе Министерства науки,  
высшей школы и технической политики  
Российской Федерации**

**НОВОСИБИРСКИЙ ОРДЕНА ТРУДОВОГО КРАСНОГО  
ЗНАМЕНИ ГОСУДАРСТВЕННЫЙ УНИВЕРСИТЕТ**

**Кафедра радиофизики и физики ускорителей**

**УЧЕТЧИКИ, ТАЙМЕРЫ, СТАТИСТИКА**

**Методические указания к лабораторной работе  
практикума "Технические средства  
автоматизации научных исследований"**

**Новосибирск 1992**

Лабораторная работа посвящена изучению аппаратных и программных средств, применяемых в системах автоматизации физического эксперимента, приобретению практических навыков работы с этими системами. На примере исследования статистики распада радиоактивного источника изучаются методы работы с аппаратурой КАНАК, приемы программирования систем автоматизации с представлением результата в наглядной графической форме, статистические методы анализа экспериментальных данных.

Цель работы – разработать программу для измерения числа распадов, получить эмпирическую функцию распределения, проверить статистическую гипотезу о принадлежности полученной функции распределения пуассоновскому процессу.

Составитель Г.И. Кузин

Рецензент А.В. Репков

Печатается по решению кафедры радиофизики и физики ускорителей

## ВВЕДЕНИЕ

Компьютеры в системах автоматизации научных исследований являются очень удобным и мощным средством для применения методов теории вероятности и математической статистики при обработке экспериментальных данных. Необходимость использования этих методов возникает довольно часто и имеет совершенно объективные основания. В одном случае это статистический характер ряда фундаментальных физических законов, в другом – сложность исследуемого объекта и физических процессов вынуждает на практике прибегать к статистическим методам. Наконец, сам экспериментальный характер физики означает, что здесь чаще всего имеют дело с результатами измерений, которые по своей природе являются случайными величинами.

Благодаря широкому применению компьютеров в физическом эксперименте происходят существенные изменения в способах его проведения и обработки результатов. В ряде случаев методы теории вероятности и математической статистики являются основным способом извлечения ценной информации из экспериментальных данных. Быстрый прогресс в области вычислительной техники позволяет использовать все более совершенные статистические методы, требующие большого числа операций. Если еще сравнительно недавно применение методов математической статистики ограничивалось вычислением средних значений и их погрешностей, то сейчас широко используются методы проверки статистических гипотез, оценки параметров, корреляционный анализ, метод максимального правдоподобия и другие.

Надеемся, что выполняя эту лабораторную работу, кроме навыков программирования систем автоматизации физического эксперимента, что является основной задачей практикума, вы получите некоторый опыт применения статистических методов.

## ОПИСАНИЕ УСТАНОВКИ

Установка состоит из крейта КАМАК с измерительной аппаратурой и персонального компьютера типа IBM PC. Компьютер связан с крейтом КАМАК посредством крейт-контроллера. Структурная схема измерительной части установки приведена на рис.1.

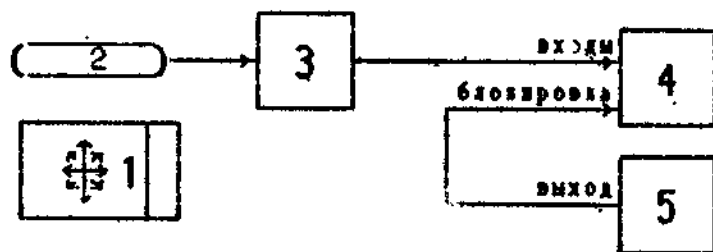


Рис. 1 Комплект измерительной аппаратуры:

- 1 - источник ионизирующего излучения;
- 2 - счетчик Гейгера;
- 3 - блок питания счетчика Гейгера и формирования импульсов;
- 4 - пересчетка;
- 5 - таймер.

Блоки 4, 5 выполнены в виде модулей КАМАК, а блок 3 со счетчиком Гейгера 2 - выносной. Приближая счетчик 2 к контейнеру с изотопом 1 и удаляя от него, можно изменять его загрузку  $\lambda$ . Сформированные блоком 3 импульсы поступают на вход пересчетки 4. При подаче сигнала "Блокировка" на пересчетку (активный уровень - логический ноль) счет импульсов запрещается и разрешается чтение. Длительность временного интервала  $T$ , в течение которого счет импульсов разрешен, программируется.

Блок счетчика Гейгера 3 вырабатывает питающее напряжение  $\approx 400$  В для питания счетчика Гейгера и формирует счетные импульсы нужной амплитуды и

длительности. Максимальный ток источника питания  $\approx 350$  мка. Срабатывание счетчика Гейгера индицируется светодиодом.

Блок таймера предназначен для формирования временных интервалов с дискретностью 1 мсек и длительностью до 65535 мсек. Дискретность определяется внутренней опорной частотой - 1 кГц, а длительность - разрядностью внутреннего счетчика и схемы сравнения - 16 двоичных разрядов. Таймеры, как правило, включают: а) регистр установки; б) задающий генератор; в) счетчик импульсов; г) схему сравнения и формирования временного интервала. Структурная схема такого таймера представлена на рис. 2а.

Однако эта схема обладает одним существенным недостатком, а именно: время установления нужной комбинации в счетчике импульсов, равное, в худшем случае, сумме временных задержек триггеров счетчика, может достигать величины, сравнимой с длительностью такта задающего генератора. Например, для ТТЛ-схем типовое время задержки на один триггер  $10+20$  нсек. Следовательно, для счетчика в 24 разряда максимальная суммарная задержка будет порядка  $0.25+0.5$  мсек, что



Рис. 2

при частоте задающего генератора 10 МГц составит несколько тактов, причем эта ошибка отработки временного интервала непостоянна и зависит от установленной величины  $T$ . Чтобы исключить этот недостаток применяют схему обратного счета (рис. 2b). При запуске число из регистра установки заносится в счетчик, и он начинает обратный счет тактовых импульсов. Когда все разряды счетчика становятся равными нулю, отработка временного интервала прекращается. Такой подход позволяет исключить задержки триггеров счетчика. В нашем случае используется именно такая схема.

Таймеры характеризуются:

- максимальным временным разрешением, которое определяется максимальной скоростью счета внутреннего счетчика;
- максимальным временным интервалом (определяется разрядностью счетчика и внутренних регистров);
- стабильностью задающего генератора.

Пересчетка предназначена для счета числа импульсов. Обычно в одном блоке объединяются несколько счетчиков (в нашем случае восемь). Пересчетки характеризуются:

- предельной частотой счета;
- разрядностью;
- количеством рабочих каналов.

Оговариваются также параметры входных импульсов.

#### ЗАДАНИЕ 1. Работа с приборами.

Пользуясь приложением 1, научитесь работать с используемой аппаратурой - таймером, пересчеткой;

- напишите программу генерации таймером временных интервалов заданной длительности, например 100, 1000, 5000 мсек. Контролируйте работу таймера по светодиодам на передней панели;

- освоите работу со счетчиком: установку режимов, чтение.

Советуем оформить работу с аппаратурой в виде двух подпрограмм: первая - подпрограмма инициализации и установки режимов должна включать команды, которые в дальнейшем, при наборе статистики, достаточно будет выполнить один раз, например команды ZERO, CLEAR, INHIBIT OFF, установки временного интервала, снятия блокировки LAM пересчетки. Вторая подпрограмма должна содержать команды запуска таймера и чтения пересчетки после отработки временного интервала. Разумеется нужно позаботиться о передаче в подпрограммы и возврате всех нужных параметров. Сама программа {MAIN} кроме декларации библиотек и переменных должна включать декларацию крейта и модулей, ввод временного интервала и вывод числа насчитанных пересчеткой распадов.

#### СТАТИСТИКА. РАСПРЕДЕЛЕНИЕ ПУАССОНА

Распад ядер радиоактивного изотопа сопровождается ионизирующим излучением, приводящим к срабатыванию счетчика Гейгера и появлению импульса на входе пересчетки. Пусть счетчик Гейгера срабатывает в среднем с частотой  $\lambda$ . Вычислим вероятность наблюдения  $n$  импульсов за время  $T$ . Для этого разобьем временной интервал  $T$  на  $N$  одинаковых подинтервалов  $\tau$ . При этом выберем  $N$  достаточно большим, чтобы вероятностью появления за время  $\tau$  двух или более импульсов можно было пренебречь. Тогда  $p = \lambda\tau$  - вероятность того, что в подинтервале  $\tau$  будет зарегистрирован один импульс, а  $q = 1 - \lambda\tau$  - вероятность того, что подинтервал  $\tau$  пуст. Вероятность наблюдения  $n$  импульсов в  $N$  подинтервалах подчиняется биномиальному закону:

$$P_N(n) = C_N^n \cdot p^n \cdot q^{N-n}, \quad (1)$$

где  $C_N^n = \frac{N!}{n! \cdot (N-n)!}$  - число сочетаний из  $N$  по  $n$ .

Обозначим  $\bar{n} = \lambda T$  – среднее значение числа импульсов за время  $T$ . Тогда  $p = \lambda t = \bar{n} \cdot t/T = \bar{n}/N$ ;  $q = 1 - \bar{n}/N$ , и (1) можно переписать в виде:

$$P_N(n) = \frac{N(N-1) \cdots [N-(n-1)]}{n!} \cdot \left(\frac{\bar{n}}{N}\right)^n \cdot \left(1 - \frac{\bar{n}}{N}\right)^{N-n} =$$

$$= \frac{\bar{n}^n}{n!} \cdot 1 \cdot \left(1 - \frac{1}{N}\right) \cdots \left(1 - \frac{n-1}{N}\right) \cdot \left(1 - \frac{\bar{n}}{N}\right)^{N-n}.$$

Переходя к пределу при  $N \rightarrow \infty$  с учетом того, что  $\lim_{N \rightarrow \infty} \left(1 - \frac{\bar{n}}{N}\right)^N = e^{-\bar{n}}$ , получаем распределение Пуассона:

$$P(n) = \frac{\bar{n}^n}{n!} \cdot e^{-\bar{n}}. \quad (2)$$

Единственным параметром, определяющим распределение Пуассона, является среднее значение  $\bar{n}$ . Отметим особо, что при выводе (2) мы сделали лишь одно существенное предположение, которое состоит в том, что вероятность появления импульса в подинтервале  $t$  не зависит от других подинтервалов при любом числе разбиения  $N$ . Физически это означает независимость процессов распада в ядрах соседних атомов (спонтанный распад), а счетчик Гейгера всегда готов к работе, т.о. его быстродействие бесконечно.

Распределением Пуассона описываются многие процессы: статистика распадов радиоактивных изотопов, дробовой эффект в радиолампах, статистика телефонных вызовов, блуждание броуновской частицы и др.

Рассмотрим некоторые свойства распределения Пуассона. Из (2) видно, что при  $\bar{n} > 1$   $P(n)$  сначала возрастает, достигая максимума, а затем монотонно убывает. Формула (2) означает также, что при любом  $\bar{n}$

может быть зарегистрировано любое число импульсов, однако наиболее вероятными будут значения  $n$ , близкие к  $\bar{n}$ , а вероятность больших отклонений, при которых  $|n - \bar{n}| > \bar{n}$ , будет мала. Мерой разброса случайной величины  $n$  относительно среднего значения  $\bar{n}$  является дисперсия – второй центральный момент функции распределения:

$$D_n = \sigma^2 = \bar{n}^2 - \bar{n}^2, \quad (3)$$

$$\text{где } \bar{n} = \sum_{n=0}^{\infty} n \cdot P(n), \quad \bar{n}^2 = \sum_{n=0}^{\infty} n^2 \cdot P(n).$$

Примечательным свойством распределения Пуассона является равенство:

$$D_n = \bar{n}. \quad (3a)$$

Действительно,

$$\bar{n}^2 = \sum_{n=0}^{\infty} [n(n-1) + n] \cdot \frac{\bar{n}^n}{n!} \cdot e^{-\bar{n}} =$$

$$= \bar{n}^2 \sum_{n=2}^{\infty} \frac{\bar{n}^{n-2} e^{-\bar{n}}}{(n-2)!} + \bar{n} = \bar{n}^2 + \bar{n},$$

откуда следует равенство (3a).

Если нарисовать график зависимости  $P(n)$  при разных  $\bar{n}$ , то будет видно, что с возрастанием  $\bar{n}$  график функции распределения принимает все более симметричную, колоколообразную форму с максимумом при  $n = \bar{n}$ . Это является отражением того факта, что распределение Пуассона (2) при больших  $\bar{n}$  асимптотически переходит в нормальный, гауссов закон распределения

$$\varphi(n) = \frac{1}{\sqrt{2\pi\bar{n}}} \cdot e^{-\frac{(n-\bar{n})^2}{2\bar{n}}} \quad (4)$$

что непосредственно следует из предельной теоремы Муавра-Лапласа [1]. В (4) в отличие от (2)  $n$  подразумевается вещественным числом. Практически уже при  $\bar{n} \gg 0$  распределение (2) достаточно хорошо аппроксимируется нормальным распределением (4).

В области применимости (4) абсолютное и относительное отклонения случайной величины  $n$  от среднего значения соответственно равны:

$$\Delta n = \sigma = \sqrt{D_n} = \sqrt{\bar{n}}; \quad \delta = \frac{\Delta n}{\bar{n}} = \frac{1}{\sqrt{\bar{n}}} \quad (5)$$

Увеличение интервала времени счета  $T$  приводит к увеличению абсолютного и уменьшению относительного отклонения от среднего значения. Смысл выражений (5) достаточно прост: при многократном повторении процесса регистрации числа распадов в большинстве случаев, а точнее в 68%, измеренное число  $n$  будет отличаться от  $\bar{n}$  не более, чем на  $\sigma$ . Таким образом, для достижения заданной относительной ошибки  $\delta$  необходимо, чтобы сосчитанное число распадов было  $\approx 1/\delta^2$ . Например, для измерения числа распадов с 10%-й точностью, измеренное число распадов должно быть  $\approx 100$ . Число 68% получается, если проинтегрировать (4) в пределах от  $\bar{n}-\sigma$  до  $\bar{n}+\sigma$ . В интервал значений  $(\bar{n}-2\sigma, \bar{n}+2\sigma)$  мы попадем уже с вероятностью 95% и т.д.

## ЗАДАНИЕ 2. Набор статистики.

1. Используя написанные ранее подпрограммы работы с приборами, напишите программу построения эмпирической функции распределения числа распадов за интервал времени  $T$ . Временной интервал  $T$  и размер

выборки (количество измерений) программа пусть запрашивает с терминала. Для набора статистики нужно отвести массив достаточной длины, больше, чем максимально возможное измеренное  $n$ , но перед записью в массив все-таки следует проверить, не слишком ли велико измеренное  $n$ ? При наборе статистики  $n$  будет индексом массива, а элемент массива при каждом попадании должен увеличиваться на единицу. Таким образом, после завершения набора статистики в массиве будет лежать выборочная функция распределения. Результат измерений представьте в графической форме в виде гистограммы, где по горизонтали отложено  $n$ , а по вертикали - число измерений с данным  $n$ . Позаботьтесь о масштабировании картинки по горизонтали и вертикали, с тем, чтобы при  $n \gg 1$  максимум гистограммы находился примерно в центре экрана. Подберите интервал времени и положение источника ионизирующего излучения таким образом, чтобы  $\bar{n}$  было в пределах 1-4.

2. Рассчитайте по формуле (2) теоретическую функцию распределения Пуассона. Это удобно сделать по рекуррентной формуле  $P_n = P_{n-1} \cdot \bar{n}/n$ . При больших  $\bar{n}$  первый член  $P_0 = \exp(-\bar{n})$  может оказаться настолько мал, что округлится до точного нуля, и, соответственно, все последующие члены будут равными нулю. Самый простой способ избежать этого - указать тип переменных "double", тогда расчет можно проводить до  $\bar{n} \approx 200$ . Соедините соседние точки ломаной и наложите полученный график на гистограмму. Проделайте это при разных размерах выборки, оцените соответствие разброса формуле (5). При расчетах по формуле (2) используйте выборочное среднее, полученное экспериментально.

3. Увеличьте время  $T$  до такой величины, чтобы  $\bar{n}$  стало  $\approx 20$ . Оцените "на глаз" соответствие полученной гистограммы гауссовскому распределению: симметрию относительно максимума, ширину распределения (дисперсию), величину отклонения эмпирического распределения от расчетного при различных  $n$ .

## СТАТИСТИКА. ОБРАБОТКА РЕЗУЛЬТАТОВ. ПРОВЕРКА ГИПОТЕЗ

Пусть перед нами поставлена задача — определить, является ли наблюдаемый процесс пуассоновским. Выполнив задание 2, мы получили выборочную эмпирическую функцию распределения, которая может иметь довольно изрезанную форму и, конечно, будет отличаться от расчетной кривой. Возникает вопрос: является ли это отклонение чисто случайным или оно закономерно и, следовательно, имеет какую-то причину, поскольку мы знаем, что процесс распада ядер изотопа — это чисто пуассоновский процесс?

Число  $N$  измерений, по которым строится гистограмма, называется размером выборки. При  $N \rightarrow \infty$  эмпирическая функция распределения сходится по вероятности к функции распределения генеральной совокупности, из которой эта выборка извлечена. Эмпирическая функция распределения содержит всю информацию, которая накоплена в процессе извлечения выборки. На ее основе можно делать заключения о функции распределения генеральной совокупности, оценивать параметры этого распределения. Разумеется, эти оценки, в свою очередь, являются случайными величинами, разброс которых зависит от размера выборки.

Проверка статистических гипотез состоит в следующем. Пусть на основании выборки ограниченного объема нам нужно проверить некоторую гипотезу  $H_0$ .

Гипотеза  $H_0$  может быть, например, гипотезой о том, что генеральная совокупность случайной величины подчиняется данному распределению, о равенстве параметров распределения и т.д. Для проверки гипотезы необходима контрольная величина  $R$ , которой является соответствующим образом подобранная и приспособленная к задаче функция выборки. По заданному уровню значимости  $\alpha$  (обычно 0.05, 0.02 или 0.01) определяют область значений  $\Omega$  для величины  $R$ , вероятность

попадания в которую  $P < \alpha$ . Это всегда можно сделать, если известна функция распределения величины  $R$  или хотя бы ее асимптотика. Выборка дает нам частное значение  $r$  контрольной величины  $R$ . Если  $r$  попадает в область  $\Omega$ , т. е. происходит событие, которое мы в соответствии с гипотезой  $H_0$  оценили как маловероятное, то от гипотезы  $H_0$  отказываемся. В противоположном случае можно утверждать, что при данном уровне значимости  $\alpha$  нет оснований отвергать гипотезу  $H_0$ .

Поясним это на следующем простом примере. Пусть источник ионизирующего излучения имеет в среднем 100 распадов в секунду, а геометрия взаимного расположения источника и счетчика Гейгера такова, что должно регистрироваться 20% распадов. Тогда мы вправе ожидать, что накопленное за 100 сек количество распадов будет близко к 2000, т. е. гипотеза  $H_0$  состоит в том, что  $\bar{n} = 2000$ . В соответствии с формулами (4) и (5) измеренное число распадов  $n$  распределено нормально с дисперсией  $\sigma = 2000^{1/2} \approx 45$ . Заделим уровень значимости  $\alpha = 0.05$ . Критическую область значений  $n$  можно определить по таблицам нормального распределения (Приложение 2): ( $n < 1910$ ;  $n > 2090$ ). Теперь, если мы проведем измерение и обнаружим  $n = 1900$ , то это означает, что с вероятностью 95% гипотеза  $H_0$  неверна.

Для проверки статистических гипотез существует ряд критериев:  $\chi^2$  (хи-квадрат), Стьюдента, Фишера и другие (см. [1], [3]). В частности, критерий согласия  $\chi^2$  предназначен для проверки соответствия эмпирической функции распределения предполагаемой и его можно с успехом применить для ответа на вопрос, поставленный в начале главы. Но так как проверка по этому критерию требует группировки выборки, использования таблиц и сложного расчета  $\chi^2$ -распределения, то мы ограничимся более

просто\* и узкой задачей, а именно, проверим выполнение соотношения (3а) для выборки. Таким образом, мы проверяем, обладает ли случайная величина  $n$  свойством пуассоновского распределения  $D_n = \bar{n}$ , хотя, вообще говоря, этим свойством может обладать и совершенно другое распределение, например, равномерное в определенном интервале.

Выборочное среднее и дисперсия вычисляются по формулам:

$$\bar{n}^* = \frac{1}{N} \sum_{i=1}^N n_i ; \quad D_n^* = \frac{1}{N-1} \sum_{i=1}^N (n_i - \bar{n}^*)^2 , \quad (6)$$

где  $N$  - размер выборки. Эти формулы дают состоятельные и несмещенные оценки. Состоятельной называется такая оценка параметра распределения, которая сходится к оцениваемому параметру при неограниченном увеличении размера выборки. Несмещенность означает, что усреднение оценки по ансамблю выборок одного размера дает точное значение оцениваемого параметра. Согласно центральной предельной теореме [1]  $\bar{n}^*$  при больших размерах выборки распределено нормально с дисперсией  $\sigma^2/N$ . Дисперсия  $D_n^*$  имеет распределение  $\chi^2$ , которое также при  $N > 30$  переходит в нормальное с дисперсией  $2\sigma^4/(N-1)$ .

Таким образом, имеем две нормально распределенные величины  $\bar{n}^*$  и  $D_n^*$ , имеющие дисперсии  $\sigma_1^2 = \sigma^2/N$  и  $\sigma_2^2 = 2\sigma^4/(N-1)$ . Составим контрольную величину  $R = \bar{n}^* - D_n^*$ . Разность двух нормально распределенных случайных величин также имеет нормальное распределение со средним значением, равным разности средних и с дисперсией, равной сумме дисперсий [1]. Поскольку оценки по формулам (6) несмещенные, их математические ожидания равны  $\bar{n}$ , следовательно,  $R$  имеет распределение:

$$\varphi(R) = \frac{1}{\sigma_R \sqrt{2\pi}} \cdot e^{-\frac{R^2}{2 \cdot \sigma_R^2}} . \quad (7)$$

$$\text{где } \sigma_R^2 = \sigma_1^2 + \sigma_2^2 = \frac{\sigma^2}{N} + \frac{2\sigma^4}{N-1} .$$

Теперь, принимая  $\sigma^2 = \bar{n}$  и задав уровень значимости, для проверки гипотезы можно воспользоваться таблицами нормального распределения.

### ЗАДАНИЕ 3. Анализ результатов

Дополните вашу программу вычислением выборочного среднего и дисперсии, а также величины  $Z = R/\sigma_R$ . В соответствии с (7)  $Z$  распределена нормально с нулевым средним и единичной дисперсией. Установите максимальную загрузку счетчика Гейгера ( $\lambda > 100$ ). Для ускорения процесса набора статистики временной интервал  $T$  следует установить небольшим - 10+20 мсек. Наберите максимально возможную статистику ( $N > 1000$ ). Если у вас получится  $|Z| > 2$ , то это означает, что с вероятностью 95% наша гипотеза ( $D_n = \bar{n}$ ) неверна, то есть эмпирическая функция распределения отличается от пуассоновской. Объясните полученный результат.



## ПРИЛОЖЕНИЕ 1

**ТАЙМЕР.** В данной работе используется таймер С2601, способный обрабатывать временной интервал в диапазоне 0 - 65536 мсек с дискретностью 1 мсек.

Разрядность регистра предустановки и счетчика 16;  
Уровни входных и выходных сигналов TTL;  
Максимальный потребляемый ток от +6 В 0.8 А;  
Частота встроенного опорного генератора 1 кГц;

### Набор КАМК-функций таймера:

|  |     |
|--|-----|
| AO·F17 - запись числа в регистр установки временного интервала (при работе таймера команда не выполняется) | Q=1 |
| AO·F1 - чтение числа из регистра установки (для контроля)  | Q=0 |
| AO·F11 - сброс в 0 регистра установки (при работе таймера команда не выполняется)                          | Q=1 |
| AO·F0 - чтение внутреннего счетчика таймера (для контроля)   | Q=0 |
| AO·F9 - сброс в 0 счетчика таймера   | Q=1 |
| AO·F10 - сброс "LAM" и пуск таймера (при работе таймера команда не выполняется)                            | Q=1 |
|  | Q=0 |

Запрос "LAM" выставляется после генерации временного интервала и сбрасывается командой F10.

На передней панели блока расположены гнездо "Вход" и два параллельных гнезда "Выход". "Вход" служит для внешнего запуска и является эквивалентом команды F10 (в данной работе не используется). С "Выхода" снимается импульс уровня TTL положительной полярности для управления пересчеткой.

Во время обработки длительного интервала T командой AO·F0 можно прочитать содержимое внутреннего счетчика таймера и узнать время, прошедшее с момента пуска.

### Работа с таймером.

- Установить длительность интервала счета, для чего командой AO·F17 записать нужное число (количество миллисекунд в интервале T) в регистр установки. При неизменном T это достаточно сделать один раз.

- Командой AO·F10 запустить таймер для обработки временного интервала. На время исполнения команды запрос "LAM" убирается. Работу блока можно визуально контролировать по светодиоду "L" на передней панели.

### ПЕРЕСЧЕТКА:

Пересчетка 00603 предназначена для счета импульсов и выдачи числа P параллельном двоичном коде.

Основные технические характеристики:

|  |                  |
|--|------------------|
| - Количество счетчиков (каналов) в приборе | 8;               |
| - Разрядность каждого счетчика             | 24;              |
| - Максимальная частота счета, Гц           | $6 \cdot 10^6$ ; |
| - Уровни входных сигналов                  | TTL;             |
| - Максимальный потребляемый ток от +6 В    | 0.3 А;           |

### Набор КАМАК-функций пересчетки:

|   |     |
|---|-----|
| AO+A7·F0 - чтение канала с субадресом 0-7; при запрещенном чтении | Q=1 |
| AO·F9 - сброс в 0 всех каналов                                    | Q=0 |
| AO·F10 - сброс "LAM"  | Q=1 |
| AO·F24 - блокировка "LAM"   | Q=1 |
| AO·F26 - снятие блокировки "LAM"                                  | Q=1 |
| AO·F28 - стоп   | Q=1 |
| AO·F30 - пуск   | Q=1 |

INHIBIT - Блокировка счета и разрешение чтения.

При нулевом потенциале на входе "Блокировка" счет блокируется и разрешается чтение содержимого счетчиков. При положительном потенциале счет разрешен, если предварительно была подана команда "Пуск".

Чтение разрешено после команды "Стоп", либо при блокировке счета с магистрали КАМАК сигналом "INHIBIT", либо при подаче с передней панели сигнала

"Блок ровки". При разрешенном чтении блок генерирует в ответ на FO Q=1, а при запрещенном чтении Q=0. Запрос LAM включается при появлении "1" в старшем разряде любого канала и сбрасывается командами FO, F9, F10, F28.

На передней панели имеются входы "Блокировка", "Пуск" и "Стоп". Верхний из двух двенадцатиконтактных разъемов "Входы" используется для подключения выносного блока счетчика Гейгера.

В данной работе используется только один канал пересчетки, адресуемый для чтения по АО·FO.

**Работа с прибором.** Дать команду АО·F26 пересчетке, если собирается использовать LAM-запросы, то есть работать по прерываниям, либо с проверкой соответствующего бита в регистре маски и запросов. В нашем случае удобнее работать с пересчеткой по Q: при каждом измерении числа распадов нужно обнулить пересчетку командой АО·F9, запустить ее командой АО·F30, а затем, после запуска таймера, читать пересчетку по АО·FO до тех пор, пока не появится ответ Q=1.

ПРИЛОЖЕНИЕ 2 Таблица  $\Phi(x) = \frac{1}{\sqrt{2\pi}} \int_0^x e^{-x^2/2} dx$ .

| x   | Φ(x)   | x   | Φ(x)    |
|-----|--------|-----|---------|
| 0.1 | 0.0796 | 2.1 | 0.9642  |
| 0.2 | 0.1586 | 2.2 | 0.9722  |
| 0.3 | 0.2358 | 2.3 | 0.9785  |
| 0.4 | 0.3108 | 2.4 | 0.9836  |
| 0.5 | 0.3830 | 2.5 | 0.9876  |
| 0.6 | 0.4514 | 2.6 | 0.9907  |
| 0.7 | 0.5160 | 2.7 | 0.9931  |
| 0.8 | 0.5762 | 2.8 | 0.9949  |
| 0.9 | 0.6318 | 2.9 | 0.9963  |
| 1.0 | 0.6826 | 3.0 | 0.9973  |
| 1.1 | 0.7286 | 3.1 | 0.9981  |
| 1.2 | 0.7698 | 3.2 | 0.9986  |
| 1.3 | 0.8064 | 3.3 | 0.9990  |
| 1.4 | 0.8384 | 3.4 | 0.9993  |
| 1.5 | 0.8664 | 3.5 | 0.99953 |
| 1.6 | 0.8904 | 3.6 | 0.99968 |
| 1.7 | 0.9108 | 3.7 | 0.99978 |
| 1.8 | 0.9282 | 3.8 | 0.99985 |
| 1.9 | 0.9426 | 3.9 | 0.99990 |
| 2.0 | 0.9545 | 4.0 | 0.99994 |

## ЛИТЕРАТУРА

1. Худсон Д., Статистика для физиков. М.: Мир, 1970.
2. Рытов С.М., Введение в статистическую радиофизику. М., 1966.
3. Левин Б.Р., Теоретические основы статистической радиотехники. Т.2. М.: Сов. радио, 1968.
4. Алиев Т.М., Тер-Хачатуров А.А. Измерительная техника. М.: Вчос. шк., 1991.
5. Науман Г., Майлинг В., Щербина А. Стандартные интерфейсы для измерительной техники. М.: Мир, 1982.
6. Князев В.А., Росляков Г.В. Методы обработки экспериментальных данных. Метод. указания. Новосибирск, 1985.

---

|                              |                   |
|------------------------------|-------------------|
| Подписано в печать 13.04.92  | Формат 60x84 1/16 |
| Офсетная печ. Уч.-изд.л. 1.5 | Тираж 200 экз.    |
| Заказ № 252                  | Бесплатно         |

---

Редакционно-издательский отдел Новосибирского университета.

Участок оперативной полиграфии НГУ,  
630090, Новосибирск 90, ул. Пирогова 2.